

Государственный комитет РФ по высшему образованию
Санкт-Петербургский государственный горный институт
имени Г.В.Плеханова (технический университет)

Кафедра строительной механики

СОПРОТИВЛЕНИЕ МАТЕРИАЛОВ.

РАСЧЕТ СТЕРЖНЕВОЙ КОНСТРУКЦИИ НА СЛОЖНОЕ СОПРОТИВЛЕНИЕ

Методические указания к расчетно-графической работе
для студентов специальности 17.01

Санкт-Петербург
1994

СОПРОТИВЛЕНИЕ МАТЕРИАЛОВ. РАСЧЕТ СТЕРЖНЕВОЙ КОНСТРУКЦИИ НА СЛОЖНОЕ СОПРОТИВЛЕНИЕ: Методические указания к расчетно-графической работе / Санкт-Петербургский горный инт. Сост.: Е.Н. Тарасенко, Л.К. Горячев, Н.И. Николаев. СПб, 1994. 23 с.

В методических указаниях изложены правила построения эпюры поперечных сил, нормальных сил, изгибающих и крутящих моментов при сложном сопротивлении, рассмотрены примеры практического расчета ломаного стержня с выбором оптимального профиля поперечного сечения.

Методические указания предназначены для студентов специальности 17.01 "Горные машины и оборудование" и других горно-буровых и строительных специальностей.

Табл. 1. Ил. 32.

Научный редактор проф. Н.Н. Калашников

© Санкт-Петербургский горный институт им. Г.В. Плеханова, 1994

I. ОБЩЕЕ ПОЯСНИТИЕ

К сложному сопротивлению относятся те виды деформаций, при которых стержни испытывают одновременно несколько простых деформаций. Например, изгиб с кручением, сжатие с изгиблом, изгиб с растяжением и т.д.

При расчетах на сложное сопротивление обычно используют принцип независимости действия сил, так как оно показывает, что в пределах упругости деформации от одной группы нагрузок не влияют на деформации, вызванные остальными нагрузками. Поэтому для вычисления полных напряжений и деформаций можно применить принцип сложения действий сил, т.е. геометрически суммировать напряжения и деформации, соответствующие простым деформациям.

Для каждого стержня продольную ось обозначим x , плавкие оси инерии поперечного сечения — y и z .

В самом общем случае действуют внешние силы внутренние усилия в сечении могут быть приведены к нормальной силе N_x , двум поперечным силам A_y и A_z , крутящему моменту M_{xp} и двум изгиблам: M_y и M_z .

Нормальная сила N_x в сечении равна проекции всех внешних сил, расположенных по одну сторону от рассматриваемого сечения, на продольную ось стержня x .

Поперечные силы A_y и A_z в сечении равны соответственно проекции всех внешних сил, расположенных по одну сторону от сечения, на оси y и z .

Крутящий момент M_{xp} в сечении равен сумме моментов всех внешних сил, действующих по одну сторону от рассматриваемого сечения, относительно продольной оси x .

Изгиблания моменты M_y и M_z в сечении равны сумме моментов всех внешних сил, расположенных по одну сторону от данного сечения, соответственно относительно осей y и z .

- 3 -

Для определения характера изменения внутренних усилий по длине стержней необходимо в масштабе построить эпюры N , A , M_{xp} и M_{yz} .

При построении эпюр условимся о следующих правилах знаков.

1. Для нормальных сил. Внешние силы, растягивающие стержень, принимаются положительными, сжимающие — отрицательными.

2. Для поперечных сил. Внешние силы, направленные вверх, для левой части дают положительную поперечную силу, для правой — отрицательную.

3. Для изгибающих моментов. Не принимается определенного правила знаков. При построении эпюр единицы момента откладывают по направлению деформации.

В дальнейшем знак напряжений определяется характером деформаций, вызванных этими моментами (растяжение — плюс, сжатие — минус).

2. ПОСТРОЕНИЕ ЭПЮР НОРМАЛЬНЫХ И ПОПЕРЕЧНЫХ СИЛ, ИЗГИБАЮЩИХ И КРУТИЩИХ МОМЕНТОВ

Построение эпюр N , A , M_{xp} и M_{yz} рассмотрим на следующем примере.

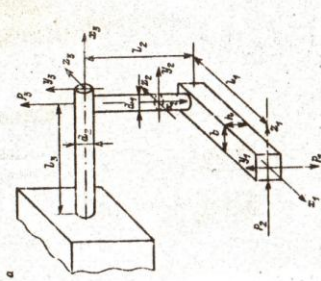
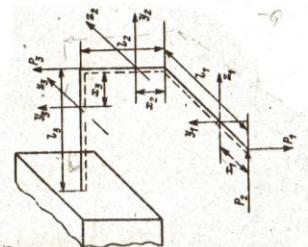
Система стержней, соединенных как показано на рис. I, а, нагружена силами $P_1 = 3$ т, $P_2 = 2$ т и $P_3 = 5$ т. Первый стержень длиной $l_1 = 4$ м имеет прямоугольное сечение с отношением сторон $h/b = 2$, второй ($l_2 = 3$ м) и третий ($l_3 = 4$ м) — круглое сечение.

Для данного ломаного бруса можно не определять реакции в заделке, если все участки рассматривать со свободного конца. При этом обход участков будем осуществлять со стороны контура, обозначенного на рис. I, а пунктиром.

Ограничим эпюры откладывая от продольной оси стержней, поэтому в масштабе надо вычеркнуть четыре контура ломаного бруса, из которых в дальнейшем будут построены эпюры.

Первый стержень. Составим выражения для внутренних усилий в элементах бруса, пользуясь методом сечений. Возьмем сечение на расстоянии x_1 от свободного конца стержня (рис. I, б).

- 4 -



В этом сечении будут действовать поперечные силы, постоянные по всей длине стержня, в вертикальной плоскости

$$Q_y = P_1 = 3 \text{ т.}$$

в горизонтальной плоскости

$$Q_x = -P_2 = -2 \text{ т.}$$

и изгибающие моменты

$$M_z = P_1 x_1 \text{ и } M_y = P_2 x_1.$$

Оба момента зависят от координаты x_1 в первой степени, следовательно, изгибающие моменты изменяются по линейному закону.

Выражения для моментов справедливы по всей длине стержня, т.е. $0 \leq x_1 \leq l_1$ при $x_1 = 0$ $M_y = 0$ и $M_z = 0$; при $x_1 = l_1$ $M_z = P_1 l_1 = 3 \cdot 4 = 12 \text{ т} \cdot \text{м}$, $M_y = P_2 l_1 = 2 \cdot 4 = 8 \text{ т} \cdot \text{м}$.

При построении эпюры (рис.2) моменты откладывались по направлению деформации, т.е. M_z — вправо, а M_y — вправо.

Нормальная сила N_x и крутящий момент M_x на этом участке равны нулю.

Второй стержень. Возьмем второе сечение на расстоянии x_2 от начала этого стержня.

Внешние силы P_1 и P_2 в этом сечении приведутся к следующим внутренним:

нормальная сила $N_x = P_1 = 3 \text{ т}$ (растягивающая);

поперечная сила $Q_y = -P_2 = -2 \text{ т}$ в плоскости чертежа, а

$Q_x = 0$.

Относительно оси y сила P_1 образует постоянный изгибающий момент $M_y = P_1 l_1 = 3 \cdot 4 = 12 \text{ т} \cdot \text{м}$.

Относительно оси z стержень изгибается силой P_2 : $M_z = P_2 x_2$, $0 \leq x_2 \leq l_2$; при $x_2 = 0$ $M_z = 0$; $x_2 = l_2$ $M_z = P_2 l_2 = 6 \text{ т} \cdot \text{м}$. От действия силы P_2 стержень еще испытывает крутящий момент $M_{xp} = P_1 l_1 = 2 \cdot 4 = 8 \text{ т} \cdot \text{м}$.

Интуитивные усилия во втором стержне можно определить и другим способом.

Приведем все внешние силы к центру тяжести стержня (рис.3,a). Для этого приложим равные и противоположные направления симметрии

- 6 -

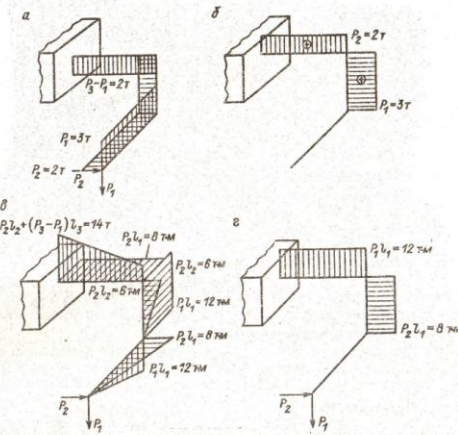


Рис.2

направленные силы P_1 и P_2 , тогда к концу 2-го стержня будут приложены растягивающая сила P_1 , момент $M_y = P_1 l_1$, изгибающий стержень относительно оси y , крутящий момент $M_{xp} = P_2 l_1$ и сила P_2 , под действием которой возникает поперечная сила и момент, изгибающий стержень относительно оси z (рис.3,b).

Третий стержень. Возьмем III сечение на расстоянии x_3 от правого конца стержня (см. рис.1,б) и составим все уравнения для определения внутренних усилий в этом сечении:

нормальная сила $N_x = P_2 = 2 \text{ т}$;

поперечная сила $Q_y = P_1 - P_2 = 3 - 2 = -1 \text{ т}$, $Q_x = 0$;

крутящий момент $M_{xp} = P_1 l_1 = 3 \cdot 4 = 12 \text{ т} \cdot \text{м}$;

- 7 -

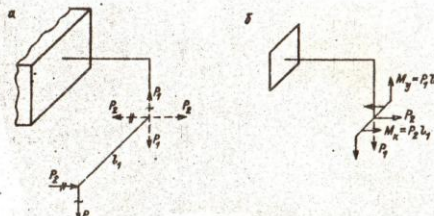


Рис.3

изгибающие моменты $M_y = P_1 l_1 = 2 \cdot 4 = 8 \text{ т} \cdot \text{м}$, $M_z = P_2 l_2 + (P_1 - P_2)x_3 = 2 \cdot 3 + (5 - 2)x_3$, при $0 < x_3 < l_3$; если $x_3 = 0$ $M_z = P_2 l_2 = 6 \text{ т} \cdot \text{м}$, если $x_3 = l_3$ $M_z = P_2 l_2 + (P_1 - P_2)l_3 = 6 + 8 = 14 \text{ т} \cdot \text{м}$. Вычисленные величины внутренних усилий откладываются на соответствующих эпюрах (рис.2).

При построении эпюры для 3-го стержня можно все внешние силы привести к центру тяжести правого конца данного стержня (рис.3,а). Для этого приложим две равные и противоположно направленные силы P_2 .

В результате переноса на правом конце стержня будет действовать растягивающая сила P_2 , момент $M_{xp} = P_1 l_1$ — закручивающий стержень, момент $M_y = P_1 l_1$ — изгибающий стержень относительно оси y , момент $M_z = P_2 l_2$ — изгибающий относительно оси z в сила $(P_1 - P_2)$, действующая параллельно оси z .

Эпюры N , Q , M_z и M_{xp} приведены на рис.2.

3. ОПРЕДЕЛЕНИЕ РАЗМЕРОВ ПОПЕРЕЧНЫХ СЕЧЕНИЙ И ВЫЧИСЛЕНИЕ НАПРЯЖЕНИЙ

Определение размеров поперечных сечений рассмотрим на примере ломаного бруса.

- 8 -

На основании построенных эпюр определяем вид деформаций стержней.

Первый стержень работает на косой изгиб (см. рис.1,а; 2,б), так как изгибается в двух плоскостях моментами M_y , M_z . Наибольшие нормальные напряжения возникают в сечении с наибольшими моментами M_y и M_z . Условие прочности следует написать для точки, наиболее удаленной от нейтральной оси, в которой напряжение от обоих моментов будут одного знака.

Для определения знаков напряжений рассмотрим деформацию стержня. Так, под действием момента M_z верхние волокна растягиваются, нижние сжимаются, под действием момента M_y растягиваются левые, а сжимаются правые волокна. Полученные знаки напряжений указаны на рис.4.

Написем условие прочности для опасных точек 2 и 4:

$$\frac{M_{z,\max}}{W_z} + \frac{M_{y,\max}}{W_y} \leq [\sigma].$$

$$\text{Для нашего случая } \frac{P_1 l_1}{b h^2} + \frac{P_2 l_1}{b^2 h} \leq [\sigma]$$

$$\text{или } \frac{6}{b h^2} (P_1 l_1 + \frac{h}{b} P_2 l_1) \leq [\sigma].$$

Рис.4

По условию $h/b = 2$, тогда

$$\frac{12}{h^3} (P_1 l_1 + 2 P_2 l_1) \leq [\sigma],$$

откуда

$$h \geq \sqrt[3]{\frac{12(P_1 l_1 + 2 P_2 l_1)}{[\sigma]}} = \sqrt[3]{\frac{12(12 + 2 \cdot 8) \cdot 10^5}{1600}} = 27,4 \text{ см.}$$

- 9 -

$$b = \frac{h}{2} = \frac{27,4}{2} = 13,7 \text{ см.}$$

Вычислим нормальные напряжения в точках I-4:

$$\sigma_{I,2,3,4} = \pm \frac{P_1 l_1}{b h^2} \pm \frac{P_2 l_1}{b^2 h} = \pm \frac{12 \cdot 10^5}{13,7 \cdot 27,4^2} \pm \frac{8 \cdot 10^5}{13,7^2 \cdot 27,4} =$$

$$= \pm 700 \pm 900;$$

$$\begin{aligned}\sigma_1 &= +700 - 900 = -200 \text{ кг/см}^2; \\ \sigma_2 &= -700 - 900 = -1600 \text{ кг/см}^2; \\ \sigma_3 &= -700 + 900 = 200 \text{ кг/см}^2; \\ \sigma_4 &= +700 + 900 = 1600 \text{ кг/см}^2.\end{aligned}$$

Построим эпюры напряжений по контуру сечения. Положительные напряжения откладываем наружу от контура (рис.5).

На нейтральной оси нормальные напряжения равны нулю. По эпюрам можно определить кульевые точки на контуре сечения и через них провести нейтральную ось (рис.5).

Касательные напряжения вычисляем по формуле Чуравского для прямоугольного сечения отдельно для σ_y и σ_z :

$$\begin{aligned}\tau_y &= \frac{3}{2} \frac{\sigma_y}{b h} = \frac{3}{2} \frac{P_1}{b h} = \frac{3}{2} \frac{3 \cdot 10^3}{13,7 \cdot 27,4} = 9,5 \text{ кг/см}^2; \\ \tau_z &= \frac{3}{2} \frac{\sigma_z}{b h} = \frac{3}{2} \frac{P_2}{b h} = \frac{3}{2} \frac{8 \cdot 10^5}{13,7 \cdot 27,4} = 6 \text{ кг/см}^2.\end{aligned}$$

Суммарное касательное напряжение равно геометрической сумме этих напряжений, и наибольшее касательное напряжение будет в центре сечения:

$$\tau_{\max} = \sqrt{\tau_y^2 + \tau_z^2} = \sqrt{9,5^2 + 6^2} = 11,2 \text{ кг/см}^2.$$

- 10 -

Второй стержень работает на изгиб в двух плоскостях с крученiem и растяжением (см. рис.1а; 2,3). Поперечное сечение стержня круглое, поэтому изгиб будет плоским под действием результирующего момента:

$$M_{\text{изг}} = \sqrt{(P_2 l_2)^2 + (P_1 l_1)^2} = \sqrt{8^2 + 12^2} = 13,4 \text{ т.м.}$$

При плоском изгибе нейтральная ось перпендикулярна результирующему моменту, поэтому ее положение легко определяется.

В наиболее удаленных точках от нейтральной оси будут наибольшие нормальные напряжения изгиба $\sigma_{\text{изг}}$. Наибольшие касательные напряжения при кручении $\tau_{\text{изг}}$ будут на окружности стержня. Кроме того, под действием поперечной силы возникают касательные напряжения $\tau_{\text{изг}}$, достигающие максимума в центре стержня, и от нормальной силы равномерно распределенное по сечению нормальное напряжение σ_N .

Эпюры распределения всех напряжений приведены на рис.5.

Напряжения от поперечной и нормальной сил значительно меньше напряжений от изгиба и крученя, поэтому опасными будут точки, наиболее удаленные от нейтральной оси

- 11 -

(точки А и Б на рис.6). Здесь материал находится в условиях чистого напряженного состояния.

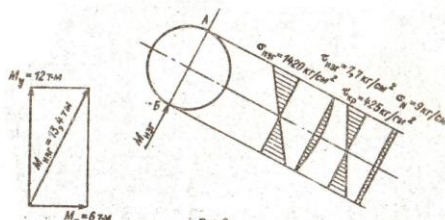
Условие прочности по IV теории прочности имеет вид

$$\sqrt{\sigma^2 + 3\tau^2} \leq [\sigma],$$

где

$$\sigma = \sigma_{\text{изг}} + \sigma_N = \frac{M_{\text{изг}}}{W} + \frac{N}{F};$$

$$\tau = \tau_{\text{изг}} = \frac{M_{\text{изг}}}{W_p} = \frac{M_{\text{изг}}}{2W}.$$



При подборе сечения напряжениями от нормальной силы, обычно ввиду их малой величины, можно пренебречь, тогда условие прочности примет вид

$$\sqrt{\frac{M_y^2}{W} + 0,75 \frac{M_x^2}{W_p}} \leq [\sigma]$$

или

$$\frac{\sqrt{M_y^2 + M_x^2 + 0,75 M_x^2}}{0,1 d^3} \leq [\sigma].$$

Отсюда

$$d = \sqrt[3]{\frac{\sqrt{M_y^2 + M_x^2 + 0,75 M_x^2}}{0,1 \cdot 1600}} = 21 \text{ см.}$$

Вычислим нормальные и касательные напряжения (рис.6).

- 12 -

Наибольшее нормальное напряжение от изгиба

$$\sigma_{\text{изг}} = \frac{M_{\text{изг}}}{W} = \frac{13,4 \cdot 10^5}{0,1 \cdot 21^3} = 1420 \text{ кг/см}^2.$$

Наибольшее касательное напряжение при изгибе

$$\tau_{\text{изг}} = \frac{4}{3} \frac{\sigma}{F} = \frac{4 \cdot 1420}{3 \cdot 3,14 \cdot 21^2} = 7,7 \text{ кг/см}^2.$$

Наибольшее касательное напряжение при кручении

$$\tau_{\text{изг}} = \frac{M_{\text{изг}}}{W_p} = \frac{8 \cdot 10^5}{0,2 \cdot 21^3} = 425 \text{ кг/см}^2.$$

Нормальное напряжение от продольной силы

$$\sigma_N = \frac{N}{F} = \frac{3000}{3,14 \cdot 21^2} = 9 \text{ кг/см}^2.$$

Из расчетов видно, что σ_N и $\tau_{\text{изг}}$ действительно значительно меньше $\sigma_{\text{изг}}$ и $\tau_{\text{изг}}$. Следует, нормальная сила смешает нейтральную ось с центра тяжести сечения. Определить новое положение нейтральной оси можно графически по суммарной эпюре нормальных напряжений (рис.7) и вычислить аналитически.

Обозначим смещение нейтральной оси с центра тяжести e . Нормальные напряжения на нейтральной оси равны нулю. Тогда уравнение примет вид

$$-\frac{M_{\text{изг}}}{J} \frac{\sigma}{F} + \frac{N}{F} = 0,$$

отсюда

$$e = \frac{N J}{M_{\text{изг}} F} = \frac{N \frac{64}{3}}{\frac{16 \cdot 10^5}{0,1 \cdot 21^3} \cdot 13,4 \cdot 10^5 \cdot 16} = 6 \cdot 10^{-2} \text{ см.}$$

Для окончательной проверки подставим вычисление напряжения в условие прочности $\sqrt{\sigma^2 + \tau^2} \leq [\sigma]$:

- 13 -

$$\sqrt{(\sigma_{\text{наг}} + \sigma_N)^2 + 3\tau^2} \leq [\sigma], \quad \sqrt{1429^2 + 3 \cdot 425^2} = 1595 \text{ кг/см}^2.$$

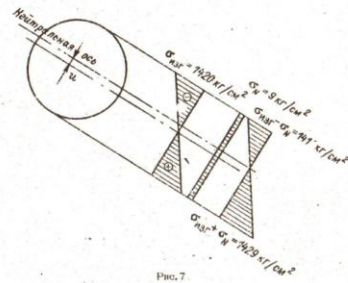


Рис.7

Условие прочности выполнено: $1595 \text{ кг/см}^2 < 1600 \text{ кг/см}^2$.

Третий стержень работает также на изгиб с кручением и растяжением, поэтому все расчеты аналогичны расчетам, выполненным для второго стержня.

Оценим будет сечение в заделке.

Условие прочности по третьей теории прочности имеет вид

$$\sqrt{\sigma^2 + 4\tau^2} \leq [\sigma],$$

пренебрегая напряженностью от нормальной силы, получим

$$\frac{\sqrt{M_x^2 + M_y^2 + M_{xy}^2}}{W} \leq [\sigma].$$

Отсюда

$$d \geq \sqrt{\frac{10^5}{0,14 \cdot 1500} \sqrt{14^2 + 8^2 + 12^2}} = 23,2 \text{ см.}$$

- 14 -

Наибольшее нормальное напряжение при изгибе

$$\sigma_{\text{наг}} = \frac{\sqrt{M_x^2 + M_y^2}}{W} = \frac{\sqrt{14^2 + 8^2} \cdot 10^5}{0,14 \cdot 23,2^3} = 1270 \text{ кг/см}^2.$$

Наибольшее касательное напряжение при изгибе

$$\tau_{x,y} = \frac{4}{3} \frac{a}{F} = \frac{4}{3} \frac{2 \cdot 10^3}{0,14 \cdot 23,2^3} = 6 \text{ кг/см}^2.$$

Наибольшее касательное напряжение при кручении

$$\tau_{x,y} = \frac{M_{xy}}{W_p} = \frac{12 \cdot 10^5}{0,14 \cdot 23,2^3} = 480 \text{ кг/см}^2.$$

Нормальное напряжение от продольной силы

$$\sigma_N = \frac{N}{F} = \frac{2 \cdot 10^3}{0,14 \cdot 23,2^2} = 4 \text{ кг/см}^2.$$

Эпюры напряжений приведены на рис.8.

M_x=947кн M_y=16кн

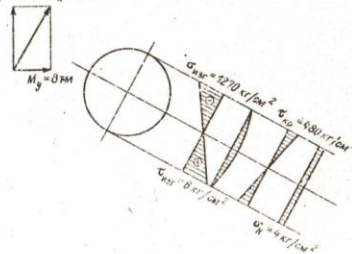


Рис.8

- 15 -

Вычисленные напряжения подставим в условие прочности

$$\sqrt{\sigma^2 + 4\tau^2} \leq [\sigma];$$

$$\sigma = \sigma_{\text{наг}} + \sigma_N = 1270 + 4 = 1274 \text{ кг/см}^2;$$

$$\tau = \tau_{x,y} = 480 \text{ кг/см}^2.$$

$$\text{Условие прочности выполнено: } \sqrt{1274^2 + 4 \cdot 480^2} = 1600 \text{ кг/см}^2.$$

4. ВЫБОР НАИБОЛЕВ ЭКОНОМИЧНОГО ПРОФИЛЯ СТЕРЖНЯ

Пусть в условии рассматриваемого примера профиль поперечно-го сечения стержня на всех трех участках одинаков. Необходимо выбрать наиболее экономичный из трех сечений с точки зрения металлоемкости профиль из следующих трех: круглый, прямоугольный с соотношением сторон $b/a = 2$, трубчатый с соотношением диаметров $d/D = 0,75$ (здесь d — внутренний, D — наружный диаметры).

На основании построенных эпюр (см. рис.2) определим опасное сечение стержня. Для нашего примера оно будет находиться в точке с наибольшими значениями изгибающего и крутящего моментов, т.е. в заделке. Стержень на этом участке работает на изгиб и растяжение в двух плоскостях с кручением и растяжением.

Условие прочности (по III теории прочности) имеет вид

$$\sqrt{\sigma^2 + 4\tau^2} \leq [\sigma],$$

где

$$\sigma = \sigma_{\text{наг}} + \sigma_{\text{раст}} = \frac{M_{\text{наг}}}{W} + \frac{N}{F},$$

$$\tau = \tau_{x,y} = \frac{M_{xy}}{W_p} = \frac{M_{xy}}{2W}.$$

При подборе сечениях напряженности от нормальной силы N виду их малости можно пренебречь, тогда условие прочности примет вид

$$\frac{\sqrt{M_x^2 + M_y^2 + M_{xy}^2}}{W} \leq [\sigma].$$

- 15 -

Отсюда

$$W \geq \frac{\sqrt{M_x^2 + M_y^2 + M_{xy}^2}}{[\sigma]} = \frac{10^5}{1600} \frac{\sqrt{14^2 + 8^2 + 12^2}}{1600} = 1250 \text{ см}^3.$$

Определим площади поперечных сечений для различных профилей стержней.

Для круга:

$$W = 0,1d^3, \quad d = \sqrt[3]{10W} = \sqrt[3]{12500} = 23,2 \text{ см};$$

$$F_1 = \frac{\pi d^2}{4} = \frac{1690}{4} = 422,5 \text{ см}^2.$$

Для прямоугольника:

$$W = \frac{bh^2}{6};$$

$$h = \sqrt[3]{12W} = \sqrt[3]{15000} = 24,6 \text{ см},$$

тогда

$$b = h/2 = 12,3; \quad F_2 = bh = 24,6 \cdot 12,3 = 302,5 \text{ см}^2.$$

Для трубчатого сечения:

$$W = \frac{\pi D^3}{32} (1 - \alpha^4),$$

где $\alpha = d/D = 0,75$, тогда

$$D = \sqrt[3]{\frac{32W}{\pi(1-\alpha^4)}} = \sqrt[3]{18734} = 26,5 \text{ см};$$

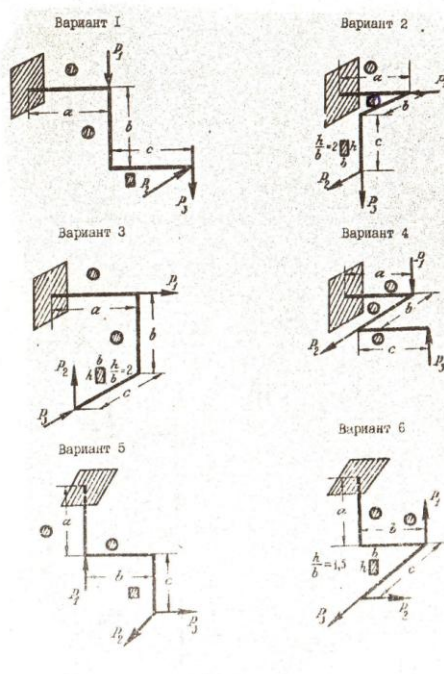
$$d = 0,75D = 19,9 \text{ см}; \quad F_3 = \frac{\pi}{4}(D^2 - d^2) = 0,785 \cdot 305,24 = 240 \text{ см}^2.$$

Таким образом, наименьшую площадь поперечного сечения имеет трубчатый профиль, т.е. он является наиболее экономичным по металлоемкости.

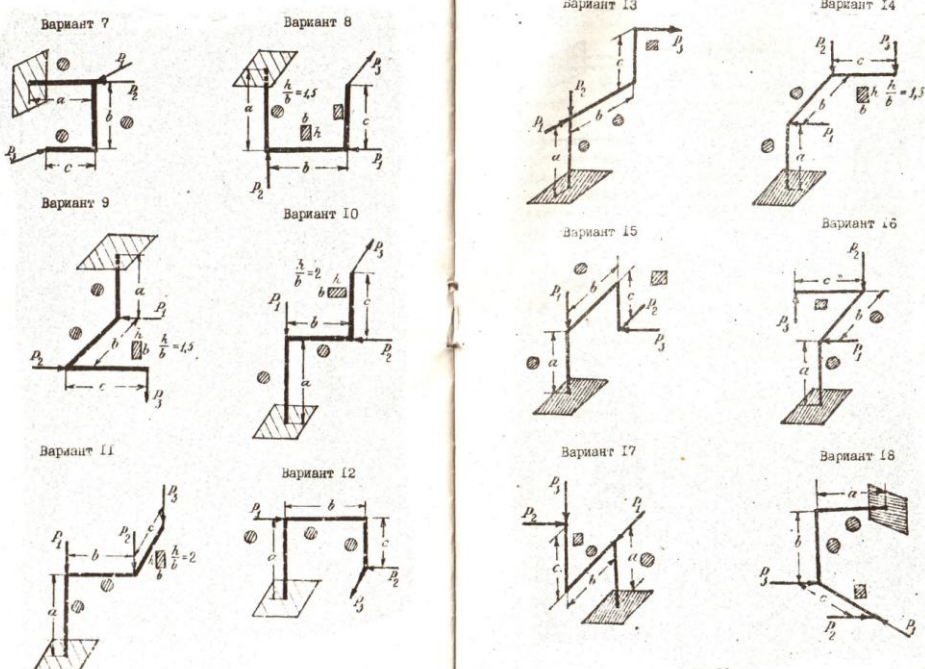
5. КОНТРОЛЬНОЕ ЗАДАНИЕ

Контрольное задание состоит из 24 вариантов заданий, заключающихся в определении опасного сечения пространственной конструкции из стержневых оруков различных форм (круглых и прямоугольных). После определения опасного сечения необходимо подобрать рациональную форму бруса исходя из допустимой прочности материала. Исходные данные для выполнения контрольного задания приведены в таблице.

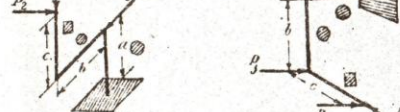
Номер варианта	a , м	b , м	c , м	P_1 , т	P_2 , т	P_3 , т	$\frac{h}{b}$	$\frac{c}{D}$
1	2	1	1,5	1,0	0,5	2,5	2	0,7
2	1,5	2	2	0,5	1,0	2,0	1	0,5
3	2	1,5	2	1,5	1,5	2,0	1,5	0,2
4	1	1	2,5	2,0	1,0	1,5	1,75	0,8
5	1	2,5	1	1,0	2,0	1,5	1	0,65
6	2	2	2	1,5	1,0	2,0	1,25	0,55
7	2,5	1	1	0,5	1,5	2,5	0,5	0,4
8	1,5	2,5	2	1,0	2,0	0,5	0,75	0,3
9	1	2	1	0,5	1,0	3,0	1	0,65
10	0,5	2	1,5	1,5	0,5	2,0	1,5	0,6
11	2	1	0,5	2,0	1,0	0,5	2	0,45
12	1,5	1	2	1,0	3,0	1,5	0,5	0,7
13	2,5	0,5	1	2,0	1,5	1,0	1,75	0,65
14	1	2	0,5	0,5	2,0	1,0	0,8	0,65
15	2	2	2	1,0	2,5	0,5	1,5	0,6
16	0,5	1,5	2	0,5	2,5	0,5	1	0,85
17	1	1	1	2,5	0,5	2,5	1,25	0,9
18	1	2,5	2	1,0	2,5	0,5	1,5	0,65
19	0,5	1,5	2,5	1,0	1,5	1,0	2	0,55
20	2,5	0,5	1,5	0,5	1,5	3,0	1	0,5
21	2,0	1,5	1,5	2,5	1,5	0,5	0,5	0,45
22	1,5	1,5	1,5	3,0	0,5	1,5	0,5	0,85
23	1	0,5	1	2,0	3,0	0,5	1,5	0,65
24	2,5	1	0,5	2,5	1,0	2,5	1	0,8



- 19 -

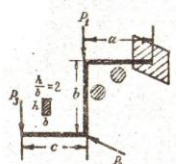


- 20 -

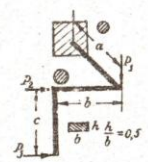


- 21 -

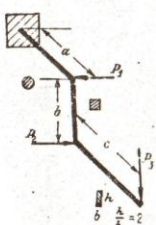
Вариант 19



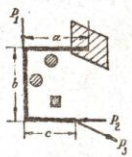
Задание 21



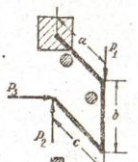
Вариант 23



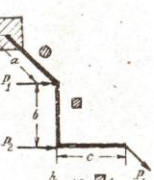
Вариант 20



Вариант 22



Variant 24



ОГЛАВЛЕНИЕ

1. Общие понятия	3
2. Построение вектор нормальных и поперечных ско- кинзаний и кручения моментов	4
3. Определение размеров поперечных сечений в вычисление напряжений	5
4. Выбор наиболее экономичного профиля стержня	16
5. Контиинуальное задание	18